

XI.2 Die β -Funktion

In Abschnitt XI.1 haben wir die β -Funktion zunächst über die Renormierungsskala M als

$$\beta = M \frac{\partial \Gamma}{\partial M}$$

definiert und haben dann gesehen, dass sie eine analoge Gleichung für die Skala t erfüllt,

$$\beta = t \frac{\partial \Gamma^{(n)}}{\partial t},$$

die wir auch als Impulsskala interpretieren können: Die Gleichung

$$\Gamma_\alpha^{(n)}(\{t p_i\}; m, \lambda, M) = f(t) \Gamma_\alpha^{(n)}(\{p_i\}; m_t(t), \lambda_t(t), M)$$

setzt also an Punkt-Vertices mit externen Impulsen $\{t p_i\}$ und $\{p_i\}$ miteinander in Beziehung und besagt, dass eine Impulsänderung u.a. einer Änderung der Koppelung entspricht. Diesen Effekt wollen wir jetzt qualitativ etwas vertiefen.

Wir hatten schon gesagt, dass β selbst eine Funktion der Koppelung ist, d.h. wir drücken

$$\beta(\lambda_t(t)) = t \frac{\partial \Gamma_\alpha^{(n)}}{\partial t}$$

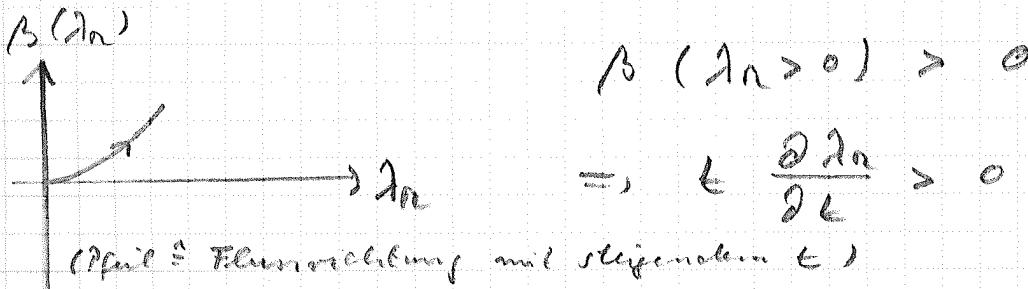
Offensichtlich gilt

$$\beta(\lambda_a = 0) = 0 \quad ,$$

da wir es dann mit einer freien Theorie zu tun haben und die Kopplung nicht aus dem Nichts entstehen kann. (Die durch β beschriebene Änderung der Kopplung ist ja selbst ein Wechselwirkungseffekt.)

Für kleine λ_a , lässt sich β störungstheoretisch berechnen, ist also ein Polynom in λ_a , dessen konstante Term verschwindet.

2. Fall 1:

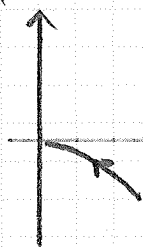


\Rightarrow Die Kopplung wächst mit steigenden Impulsschala an. Sofern sich das nicht durch höhere Terme verhindert, bricht die Störungstheorie schließlich bei höheren Impulsen zusammen.

Dagegen strebt die Kopplung (und ihre Änderung) für kleine Impulse ($t \rightarrow 0$) gegen null: Die Theorie wird im IR zu einer nicht-wechselwirkenden, freien Theorie

Fall 2:

Blau)



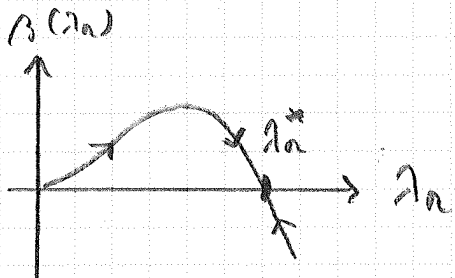
$$\beta(d_n > 0) < 0$$

$$\Rightarrow d_n \rightarrow t \frac{\partial d_n}{\partial t} < 0$$

\Rightarrow Die Kopplung wird mit steigender Impulshöhe schwächer und geht für $t \rightarrow \infty$ gegen null; die Theorie ist asymptotisch frei.

Dagegen wird die Kopplung bei kleinen Impulsen größer und die Störungstheorie bricht im IR zusammen.

Allerdings kann es sein, dass die β -Funktion bei höheren Werten von d_n einen weiteren Nullsturzgang hat und ihr Vorzeichen wechselt. Allgemein bezeichnet man Kopplungen d_n^* mit $\beta(d_n^*) = 0$ als Fixpunkte, da sich hier die Kopplung nicht mehr ändert, wenn man die Skala t variiert. Bislang haben wir nur die trivialen Fixpunkte $d_n^* = 0$ diskutiert. Wir nehmen nun an, dass es auch einen nicht-trivialen Fixpunkt gibt.

Fall 1a:

$$\beta(d_\alpha < d_\alpha^*) > 0$$

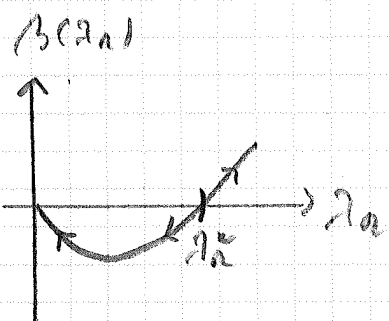
$$\beta(d_\alpha > d_\alpha^*) < 0$$

\Rightarrow Für $d_\alpha < d_\alpha^*$ wächst die Kopplung mit wachsendem t an, jedoch immer langsam, je näher $d_\alpha(t)$ bei d_α^* liegt, ob die Kopplung läuft für $t \rightarrow \infty$ gegen d_α^* .

Analoges gilt für $d_\alpha > d_\alpha^*$. Hier wird $d_\alpha(t)$ mit wachsendem t kleine und läuft für $t \rightarrow \infty$ ebenfalls gegen d_α^* .

$\Rightarrow d_\alpha^*$ ist ein nicht-trivialer UV-Fixpunkt („asymptotic safety“).

Daneben gibt es wie oben besprochen einen trivialen IR-Fixpunkt bei $d_\alpha = 0$.

Fall 2a:

$$\beta(d_\alpha < d_\alpha^*) < 0$$

$$\beta(d_\alpha > d_\alpha^*) > 0$$

analog: IR-Fixpunkt bei $d_\alpha = d_\alpha^*$

UV-Fixpunkt bei $d_\alpha = 0$ (asymptot. Freiheit)

XI.3 Störungstheoretische Berechnung der β -Funktion in der QED

In Kapitel IX haben wir die QED-Lagrange-
gleichungen in einen renommierten Anteil und
Counterterme aufgespalten:

$$\begin{aligned} \mathcal{L}_{QED} &= \bar{\psi}_0(i\partial - m_0)\psi_0 - \frac{1}{4}(F_0^{\mu\nu})^2 - e_0 \bar{\psi}_0 \gamma^\mu \psi_0 A_{0\mu} \\ &= \bar{\psi}_R(i\partial - m_R)\psi_R - \frac{1}{4}(F_R^{\mu\nu})^2 - e_R \bar{\psi}_R \gamma^\mu \psi_R A_{R\mu} \\ &\quad + \bar{\psi}_R(i\partial - \delta_2 \partial - \delta_m)\psi_R - \frac{1}{4}\delta_3(F_R^{\mu\nu})^2 \\ &\quad - e_R \delta_1 \bar{\psi}_R \gamma^\mu \psi_R A_{R\mu} \end{aligned}$$

Wir wollen nun die mit dem Laufen der Koppelung e_R verbundene β -Funktion in niedrigster Ordnung Störungstheorie berechnen.

Dies soll in dimensionaler Regularisierung geschehen, für die wir das relevante Diagramm – den Photon-Polarisationsloop – schon in Kapitel IX berechnet haben.

Dazu ist allerdings noch eine kleine Modifikation notwendig, über die wir in Kap. IX hinweg gegangen sind:

Damit die Wirkung

$$S = \int d^d x \mathcal{L}_{QED}(x)$$

in d Dimensionen dreidimensional ist,
muss gelten:

$$[\bar{\psi}_0 (i\partial - m_0) \psi_0] = [\text{Masse}]^d \Rightarrow [\psi_0] = [\text{Masse}]^{\frac{d}{d-1}}$$

$$[F_a^{\mu\nu}] = [(\partial^\mu A_a^\nu - \partial^\nu A_a^\mu)] = [\text{Masse}]^{\frac{d}{2}-1} \Rightarrow [A_a^\mu] = [\text{Masse}]^{\frac{d}{2}-1}$$

$$\Rightarrow [e_0 \bar{\psi}_0 \gamma^\mu \psi_0 A_{0\mu}] = [e_0] [\text{Masse}]^{\frac{3}{2}d-2} = [\text{Masse}]^d$$

$$\Rightarrow [e_0] = [\text{Masse}]^{\frac{4-d}{2}} = [\text{Masse}]^{\frac{d-\epsilon}{2}}, \quad \epsilon = 4-d$$

→ Die Koppelungskonstante ist für $d \neq 4$ nicht mehr dimensionslos!

($d < 4 \Rightarrow$ positive Massendimension der Koppelung
 \Rightarrow super-renormierbar)

Analoges gilt im Prinzip für die renormierbaren Felder und Kopplungen. Das widerspricht jedoch der Idee, dass wir e_R mit der gemessenen physikalischen Koppelung in Verbindung bringen will. Um diese Idee zu realisieren, führen wir einen zusätzlichen Faktor ein, der die Dimension trägt, so dass e_R dimensionslos bleibt kann:

$$e_R \rightarrow M^{e_R} e_R, \quad [M] = [\text{Masse}]$$

$$\Rightarrow \mathcal{L}_{QED} = \bar{\psi}_R (i\partial - m_R) \psi_R - \frac{1}{2} (F_a^{\mu\nu})^2 - M^{e_R} e_R \bar{\psi}_R \gamma^\mu \psi_R A_{R\mu}$$

$$+ \dots - M^{e_R} \delta_1 \bar{\psi}_R \gamma^\mu \psi_R A_{R\mu}$$

Die renormierte Lagrangeableitung enthält somit eine Massenskala M , die die ursprüngliche Lagrangeableitung nicht hatte und die wir mit der Renormierungsskala identifizieren können.

Für den Zusammenhang zwischen natürlicher und renormierter Ladung gilt mit dem zusätzlichen Skalenfaktor (vgl. S. IX-33):

$$M^{\frac{e_0}{e_n}} e_n = 2^{\frac{e_0}{e_n}} e_0 = (1 + \delta_3)^{\frac{e_0}{e_n}} e_0$$

$$\Leftrightarrow e_0 = M^{\frac{e_0}{e_n}} \frac{e_n}{\sqrt{2_3}}$$

Da e_0 nicht von M abhängt, folgt

$$\begin{aligned} 0 &= \frac{\partial e_0}{\partial M} = \frac{\varepsilon}{2} M^{\frac{e_0}{e_n}-1} \frac{e_n}{\sqrt{2_3}} + M^{\frac{e_0}{e_n}} \frac{\partial(e_n/\sqrt{2_3})}{\partial M} \\ &= M^{\frac{e_0}{e_n}-1} \left[\frac{\varepsilon}{2} \frac{e_n}{\sqrt{2_3}} + M \frac{\partial e_n}{\partial M} \frac{\partial(e_n/\sqrt{2_3})}{\partial e_n} \right] \end{aligned}$$

$$\Rightarrow \beta(e_n) = M \frac{\partial e_n}{\partial M} = -\frac{\varepsilon}{2} \frac{e_n}{\sqrt{2_3}} \left(\frac{\partial(e_n/\sqrt{2_3})}{\partial e_n} \right)^{-1}$$

$$\frac{\partial(e_n/\sqrt{2_3})}{\partial e_n} = \frac{1}{\sqrt{2_3}} \left(1 - \frac{1}{2} \frac{e_n}{2_3} \frac{\partial 2_3}{\partial e_n} \right)$$

$$\Rightarrow \beta(e_n) = -\frac{\varepsilon}{2} e_n \left(1 - \frac{1}{2} \frac{e_n}{2_3} \frac{\partial 2_3}{\partial e_n} \right)^{-1}$$

auf S. 18-32 haben wir gefunden

$$\delta_3 = -\frac{8e_n^2}{(4\pi)^{d/2}} \underbrace{\int_0^1 x^d (1-x)^{d-1} \Gamma\left(\frac{d}{2}\right)}_{= \frac{1}{6}} \frac{(4\pi M^2)^{d/2}}{(m_n^2)^{d/2}}$$

wobei wir nun dies $e_n^2 \rightarrow M^2 e_n^2$
ersetzen müssen.

$$2) \delta_3 = -\frac{1}{6} \frac{8e_n^2}{(4\pi)^2} \Gamma\left(\frac{2}{2}\right) \left(\frac{4\pi M^2}{m_n^2}\right)^{2/2}$$

$$Z_3 = 1 + \delta_3 \Rightarrow \frac{\partial Z_3}{\partial e_n} = \frac{\partial \delta_3}{\partial e_n} = \frac{2\delta_3}{e_n}$$

$$\Rightarrow \beta(e_n) = -\frac{\varepsilon}{2} e_n \left(1 - \frac{\delta_3}{1 + \delta_3}\right)^{-1}$$

$$= -\frac{\varepsilon}{2} e_n (1 + \delta_3)$$

$$= -\frac{\varepsilon}{2} e_n \left[1 - \frac{e_n^2}{12\pi^2} \Gamma\left(\frac{2}{2}\right) \left(\frac{4\pi M^2}{m_n^2}\right)^{2/2}\right]$$

Jetzt betrachten wir den Limes $\varepsilon \rightarrow 0$:

$$\Gamma\left(\frac{2}{2}\right) = \frac{2}{2} + \text{endliche Terme}$$

Offensichtlich trägt nur der divergente
Term bei.

$$\Rightarrow \boxed{\beta(e_n) = \frac{e_n^3}{12\pi^2}}$$

(+ Korrekturen
höherer Ordnung
Störungstheorie)

$\Rightarrow \beta(e_n) > 0 \Rightarrow$ Die QED ist nicht asymptotisch frei.

Im Kap. VIII haben wir δ_3 durch Renormierung des Polarisationsloops am Punkt $q^2 = 0$ fixiert. Hätten wir einen anderen Renormierungsplatz gewählt, hätte sich der endliche Anteil von δ_3 geändert.

Das hätte aber keinen Einfluss auf die β -Funktion gehabt (in dieser Ordnung Störungstheorie). Mit Hilfe der β -Funktion berechnen wir zum Schluss noch die laufende Kopplung:

$$M \frac{\partial e_n}{\partial M} = \beta(e_n) = \frac{e_n^3}{12\pi^2}$$

$$\Rightarrow \frac{\partial e_n}{e_n} = \frac{1}{12\pi^2} \frac{\partial M}{M}$$

$$\Rightarrow \int \frac{\partial e_n}{e_n} e^{-\frac{1}{e_n^2}} = \frac{1}{12\pi^2} \int_{M_0}^M \frac{\partial M'}{M'}$$

$$\Rightarrow -\frac{1}{2} \left(\frac{1}{e_n^2(M)} - \frac{1}{e_n^2(M_0)} \right) = \frac{1}{12\pi^2} \ln \frac{M}{M_0}$$

$$\Rightarrow e_n^2(M) = \frac{e_n^2(M_0)}{1 - \frac{e_n^2(M_0)}{6\pi^2} \ln \frac{M}{M_0}}$$

oder mit $\alpha = \frac{e^2}{4\pi}$

$$\boxed{\alpha(M) = \frac{\alpha(M_0)}{1 - \frac{\alpha}{3\pi} \ln \frac{M^2}{M_0^2}}}$$

Vergleich mit oben Ausdruck auf S. IX - 35:

$$\alpha(q^2 = -Q^2) = \frac{\alpha}{1 - \frac{\alpha}{3\pi} \left(\ln \frac{Q^2}{m^2} - \frac{5}{3} \right)}, \quad Q \gg m$$

Übereinstimmung, wenn wir identifizieren

$$M^2 = Q^2$$

$$\ln \frac{M^2}{M_0^2} = \ln \frac{Q^2}{m^2} - \frac{5}{3} = \ln \frac{Q^2}{m^2} - \ln e^{\frac{5}{3}}$$

$$= \ln \frac{Q^2}{e^{\frac{5}{3}} m^2}$$

$$\Rightarrow M_0 = e^{\frac{5}{3}} m = 2.3 m$$